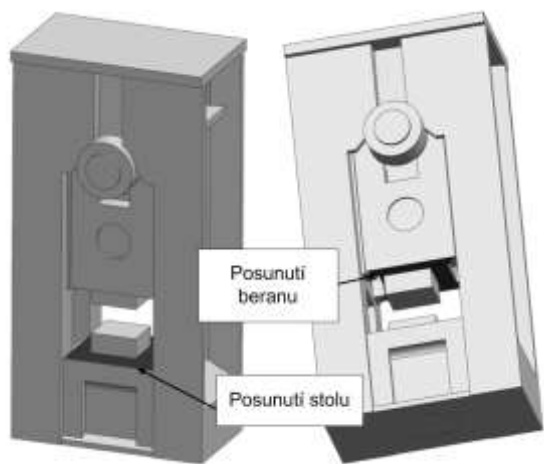


Obr. 2 Zobrazení míst odečtu posunutí pro vyjádření tuhosti stojanu

Tabulka 1 Porovnání tuhostí stojanů

Porovnání stojanů	Lis s podélně uloženým excentrickým hřídelem (A)	Lis s příčně uloženým excentrickým hřídelem (B)	A/B (B 100%)
tuhost stojanu [N/mm] (excentricita kolmo na osu ex. hřídele) (1)	14 425 851	12 247 097	117,8
natažení stojanu (1) [mm]	1,733	2,0413	
tuhost stojanu [N/mm] (excentricita rovnoběžně s osou ex. hřídele) (2)	13 301 410	11 583 727	114,8
natažení stojanu (2) [mm]	1,8795	2,1582	



Obr. 3 Zobrazení míst odečtu posunutí pro vyjádření tuhosti pracovního prostoru stojanu

Tabulka 2 Porovnání tuhostí pracovních prostorů

Tuhost pracovního prostoru	Lis s podélně uloženým excentrickým hřídelem (A)	Lis s příčně uloženým excentrickým hřídelem (B)	A/B (B 100%)
tuhost pracovního prostoru (1) [N/mm]	5 952 381	5 292 910	112,5
natažení pracovního prostoru (1) [mm]	4,2	4,7233	
tuhost pracovního prostoru (2) [N/mm]	7 209 805	5 470 220	131,8
natažení pracovního prostoru (2) [mm]	3,4675	4,5702	

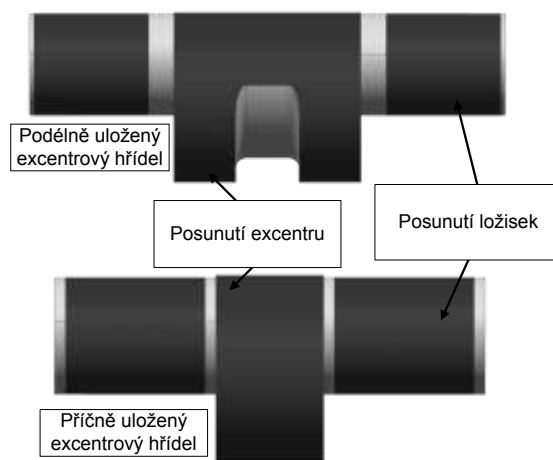
4. TUHOST JEDNOTLIVÝCH KOMPONENT MECHANISMU KLIKOVÉHO LISU

Dále byly vyhodnoceny posunutí a tuhosti dalších významných komponent klikového lisu obou variant, opět při excentrickém zatížení:

- excentrový hřídel
- ojnice
- beran

Tabulka 3 Porovnání tuhostí excentrových hřídelů

Porovnání excentrových hřídelů	Lis s podélně uloženým excentrickým hřídelem (A)	Lis s příčně uloženým excentrickým hřídelem (B)	A/B (B 100%)
tuhost excentrového hřídele [N/mm] (1)	12 808 033	13 804 528	92,8
průhyb excentrového hřídele (1) [mm]	1,9519	1,811	
tuhost excentrového hřídele (2) [N/mm]	11 481 584	14 310 246	80,2
průhyb excentrového hřídele (2) [mm]	2,1774	1,747	



Obr. 4 Zobrazení míst odečtu posunutí pro vyjádření tuhosti excentrového hřídele

